

03;04

Характерная длина и время усиления лавины убегающих электронов в сильных электрических полях

© Е.В. Орешкин, С.А. Баренгольц, В.И. Орешкин, С.А. Чайковский

Физический институт им. П.Н. Лебедева, Москва
Институт сильноточной электроники, Томск
Институт общей физики им. А.М. Прохорова РАН, Москва
E-mail: oreshkinev@scalpnet.ru

Поступило в Редакцию 26 февраля 2012 г.

С помощью метода Монте-Карло рассчитаны зависимости длины экспоненциального нарастания лавины убегающих электронов от напряженности электрического поля и давления воздуха и гелия. Результаты расчетов позволяют сделать вывод, что при равных значениях напряженности электрического поля длина и время экспоненциального нарастания лавины убегающих электронов уменьшаются при уменьшении давления и атомного номера газа, в котором происходит разряд.

В разрядах атмосферного давления убегающие электроны (УЭ) были обнаружены в конце 1960-х годов (см., например, обзор [1]). Начиная с этого времени УЭ интенсивно исследуются в лабораторных газовых разрядах как при субнаносекундных временах нарастания импульса напряжения [1–5], так и при микросекундных временах нарастания [1,6–8]. В первом случае используются короткие разрядные промежутки (от нескольких миллиметров до нескольких сантиметров) при больших перенапряжениях, т. е. при средней напряженности поля в промежутке E_{av} , значительно превышающей напряженность электрического поля при статическом пробое E_{br} , которая в воздухе атмосферного давления составляет ~ 30 kV/cm [9]. Во втором случае, как правило, используются более длинные разрядные промежутки, в которых средняя напряженность электрического поля E_{av} сравнима с E_{br} . При прохождении пучка УЭ в газе формируется пробой [1,2], механизм которого основан на ионизации атомов газа быстрыми электронами. Предполагается, что лавины УЭ развиваются в относительно слабых грозных полях, напряженность которых $\sim 2–3$ kV/cm [10,11]. При

таких значениях напряженности длина экспоненциального нарастания лавины, приведенная к атмосферному давлению, составляет сотни метров [12].

Появление убегающих электронов в веществе, помещенном в электрическое поле, связано с уменьшением силы торможения при росте энергии электрона. Для газа сила торможения электрона за счет неупругих потерь, с передачей энергии, не превышающей ε_1 , может быть записана в виде [13]:

$$F(\varepsilon_1) = \frac{2\pi e^4 Zn}{mv^2} \left(\frac{2mv^2\varepsilon_1}{J^2} \right), \quad (1)$$

где v , e , m — скорость, заряд и масса электрона Z , n , J — заряд ядра, концентрация атомов газа и средняя энергия неупругих потерь в газе. Так как изменение электрона ε_k описывается уравнением $d\varepsilon_k/dt = veE - vF(\varepsilon_k)$, то можно найти минимальную энергию ε_k^{\min} , при которой в постоянном электрическом поле с напряженностью E электрон начнет непрерывно ускоряться [см., например, 9]:

$$E = \frac{2\pi e^3 Zn}{\varepsilon_k^{\min}} \left(\frac{2\varepsilon_k^{\min}}{J} \right). \quad (2)$$

При напряженности электрического поля, равной критическому значению $E_{cr} \approx 4\pi e^3 Zn/2.718J$, которое соответствует максимуму силы торможения, все электроны переходят в режим непрерывного ускорения [9]. Выражение для E_{cr} , приведенное выше, и выражение (2) являются лишь оценками, более точные значения величин E_{cr} и ε_k^{\min} могут быть получены только с помощью численных расчетов [14].

Найдем число электронов на единицу длины с энергией $\varepsilon'_k \geq \varepsilon_k^{\min}$, которые рождаются при ионизации атомов быстрым электроном с энергией ε_k . Торможение электрона с передачей энергии в интервале между ε' и $\varepsilon' + d\varepsilon'$ равно [15]:

$$dF(\varepsilon') = \frac{2\pi e^4 Zn}{mv^2\varepsilon'} d\varepsilon'. \quad (3)$$

Число вторичных электронов $N_{es}(\varepsilon')$, энергия которых лежит в интервале от ε' до $\varepsilon' + d\varepsilon'$, связано с силой торможения следующим соотношением

$$\frac{dF(\varepsilon')}{d\varepsilon'} = \varepsilon' \frac{\partial^2 N_{es}(\varepsilon')}{\partial x \partial \varepsilon'}.$$

Проинтегрировав последнее выражение в пределах от ε_k^{\min} до ε_k , с учетом (3) получим число вторичных электронов на единицу длины, способных перейти в режим непрерывного ускорения:

$$\frac{\partial N_{es}}{\partial x} = \frac{2\pi e^4 Z n}{m v^2} \left(\frac{1}{\varepsilon_k^{\min}} - \frac{1}{\varepsilon_k} \right). \quad (4)$$

Выражение (4) позволяет сделать оценку длины экспоненциального нарастания лавины убегающих электронов l_a . Такая оценка сделана в работе [11] для слабых электрических полей, характерных для грозовых облаков, где величина ε_k^{\min} порядка mc^2 , а электроны лавины релятивистские. В этом пределе

$$l_a \approx \left(\frac{\partial N_{es}}{\partial x} \right)^{-1} \approx \frac{mc^2 \varepsilon_k^{\min}}{2\pi e^4 Z n}. \quad (5)$$

Воспользовавшись для величины ε_k^{\min} аппроксимацией $\varepsilon_k^{\min} \approx a E_{cr} J / E_{av}$, где $a \approx (15 - 20)$ — безразмерный коэффициент, (5) можно переписать в виде [11]:

$$l_a \approx \frac{2a}{2.718} \frac{mc^2}{e E_{av}}. \quad (5a)$$

Однако в сильных электрических полях, когда $\varepsilon_k^{\min} \ll mc^2$ и скорости убегающих электронов в лавине могут быть существенно меньше скорости света, эта оценка не применима. Действительно, согласно (3), наибольшее число вторичных электронов, способных стать УЭ, рождаются с энергией порядка ε_k^{\min} . Кроме того, в нерелятивистском пределе максимум выражения (4) приходится на энергию налетающего электрона $\varepsilon_k = 2\varepsilon_k^{\min}$, т.е. электроны с такой энергией имеют наибольшую вероятность образовать вторичный убегающий электрон и должны играть существенную роль при формировании лавины. Поэтому можно сделать другую оценку величины l_a :

$$l_a \approx \frac{m v_m^2 \varepsilon_k^{\min}}{\pi e^4 Z n}, \quad (6)$$

где

$$v_m = c \sqrt{\frac{4((\varepsilon_k^{\min})^2 + \varepsilon_k^{\min} mc^2)}{(2\varepsilon_k^{\min} + mc^2)^2}} \approx \sqrt{\frac{4\varepsilon_k^{\min}}{m}}.$$

Тогда с учетом линейной аппроксимации ϵ_k^{\min} :

$$l_a \approx \frac{2(\epsilon_k^{\min})}{\pi e^4 Z n} \approx \frac{32\pi a^2 e^2 Z n}{7.39 E_{av}^2}. \quad (6a)$$

Как видно, оценки (5) и (6) значительно отличаются друг от друга. Различие, в первую очередь, вызвано различием в оценке налетающего электрона, которая может меняться в пределах $v_m/\sqrt{2} \leq b \leq c$. В релятивистском пределе, при малых электрических полях, длина экспоненциального нарастания лавины не зависит от концентрации газа и обратно пропорциональна средней напряженности электрического поля. В нерелятивистском пределе, при больших электрических полях, зависимость от средней напряженности электрического поля более сильная и, кроме того, появляется зависимость от концентрации и заряда ядра атомов газа. Как показывает рис. 1, на котором представлены зависимости l_a от E_{av} , при различных давлениях газа, выражение (5) является оценкой сверху, а выражение (6) — оценкой снизу.

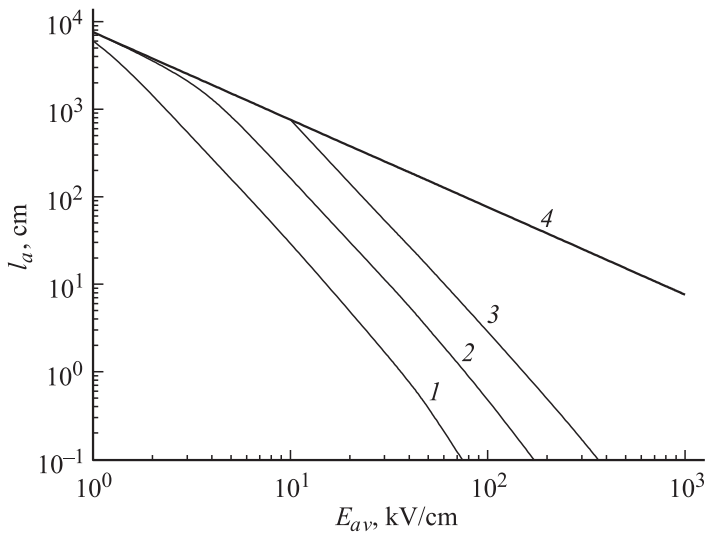


Рис. 1. Зависимость длины экспоненциального нарастания лавины убегающих электронов в воздухе l_a от среднего значения электрического поля: кривая 1 рассчитана по (6) при давлении 0.3 атм; кривая 2 — по (6) при 1 атм; кривая 3 — по (6) при 3 атм; кривая 4 — по (5a).

Более точное значение длины экспоненциального нарастания лавины убегающих электронов могут дать лишь численные расчеты, в которых учитывается распределение УЭ по скоростям. Для расчетом l_a использовалась двухмерная численная модель, основанная на методе Монте-Карло. Основным уравнением в той модели являлось уравнение, описывающее изменение импульса электрона в постоянном электрическом поле E_{av} :

$$\frac{d\mathbf{p}}{dt} = e\mathbf{E}_{av} - \mathbf{F}(\varepsilon_k) - (\Delta\mathbf{p})_{el}, \quad (7)$$

где $(\Delta\mathbf{p})_{el}$ — изменение импульса электрона при упругом рассеянии. Вычислялись две компоненты импульса: p_x — параллельная вектору \mathbf{E}_{av} ; p_y — перпендикулярная вектору \mathbf{E}_{av} .

В (7) сила торможения разбивалась на два слагаемых:

$$\mathbf{F}(\varepsilon_k) = \frac{2\pi e^4}{mv^2} \ln\left(\frac{2mv^2\varepsilon_k^{\min}}{J^2}\right) \frac{\mathbf{v}}{v} + \mathbf{F}_{es}. \quad (8)$$

Первое слагаемое описывает торможение с передачей энергии $< \varepsilon_k^{\min}$, т.е. не приводящее к появлению УЭ. Второе слагаемое

$$|F_{es}| = \frac{2\pi e^4 Zn}{mv^4} \ln\left(\frac{\varepsilon_k}{\varepsilon_k^{\min}}\right)$$

описывает торможение с передачей энергии $> \varepsilon_k^{\min}$, приводящее к появлению УЭ. При интегрировании (7) первое слагаемое учитывалось детерминированным образом, а для учета второго слагаемого строился случайный процесс. На первом этапе этого процесса для УЭ на длине пути $\Delta x = v\Delta t$, где Δt — шаг интегрирования, разыгрывалось рождение электрона с энергией $> \varepsilon_k^{\min}$. Вероятность рождения электрона, согласно (4), равна:

$$P = \frac{2\pi e^4 Zn}{mv^2} \left(\frac{1}{\varepsilon_k^{\min}} - \frac{1}{\varepsilon_k} \right) \Delta x.$$

В случае положительного исхода разыгрывалось значение энергии рожденного электрона ε'_2 , которое лежит в пределах $\varepsilon_k^{\min} < \varepsilon'_2 < \varepsilon_k$ и, как следует из (3), распределено $\sim 1/(\varepsilon'_2)^2$. Далее вычислялись углы вылета первичного и вторичного электронов и компоненты их импульса. Так как в нашем случае $\varepsilon_k > \varepsilon_k^{\min} \gg I_a$, где I_a — потенциал ионизации атомов газа, а скорость налетающего электрона много

Характерное время усиления лавины τ_a [ns] в воздухе при давлении 1 atm

| Упругое рассеяние | Не учитывается | | | Учитывается | | |
|------------------------|----------------|------|-------|-------------|------|-------|
| | | | | | | |
| $E_{av}, \text{kV/cm}$ | 4.36 | 10.9 | 17.44 | 4.36 | 10.9 | 17.44 |
| Lihtinen et al. [18] | — | — | — | 174.4 | 33.2 | 17.3 |
| Бабич и др. [12] | 81 | 20.1 | 10.7 | 189.7 | 34.3 | 17.8 |
| Данная работа | 76 | 19.8 | 10.7 | 209 | 26.3 | 14.9 |

больше орбитальной скорости электронов, то столкновение первичного электрона с атомарным можно рассматривать как упругое столкновение быстрой частицы с первоначально покоящейся частицей. В этом случае углы вылета в лабораторной системе координат равны [16]:

$$\cos \theta_1 = \frac{(\varepsilon_k + 2mc^2)\varepsilon'_1}{p_1 p'_1 c^2}; \quad \cos \theta_2 = \frac{(\varepsilon_k + 2mc^2)\varepsilon'_2}{p_1 p'_2 c^2},$$

где ε_k, p_1 — кинетическая энергия и импульс налетающего электрона до столкновения; ε'_1, p'_1 — кинетическая энергия и импульс первичного электрона после столкновения; ε'_2, p'_2 — энергия и импульс вторичного электрона; θ_1, θ_2 — углы рассеяния первичного и вторичного электронов соответственно.

Учет упругих электрон-атомных столкновений также проводился с помощью метода Монте-Карло. Использовался следующий алгоритм: на каждом временном шаге после интегрирования уравнения (7) для каждой частицы проводился розыгрыш возможного столкновения. В случае положительного исхода по методике, описанной в [17], разыгрывались углы рассеяния.

Численное моделирование проводилось для воздуха и гелия, в ходе моделирования изменялись давление газов и E_{av} . При расчете считалось, что воздух состоит из азота (78% от массы), кислорода (21%) и аргона (1%). В начальный момент времени ($t = 0$) присутствовал один электрон с энергией $\varepsilon_k = 1 \text{ MeV}$, расчет проводился до появления $\sim 10^4 - 10^5$ вторичных электронов (N_{sec}). Следует отметить, что не все вторичные электроны переходят в режим непрерывного ускорения. В зависимости от напряженности электрического поля и давления газа число УЭ (N_{es}) в расчетах составляло 40–80% от N_{sec} . Длина экспоненциального нарастания лавины убегающих электронов l_a и время экспоненциального нарастания вычислялись в соответствии

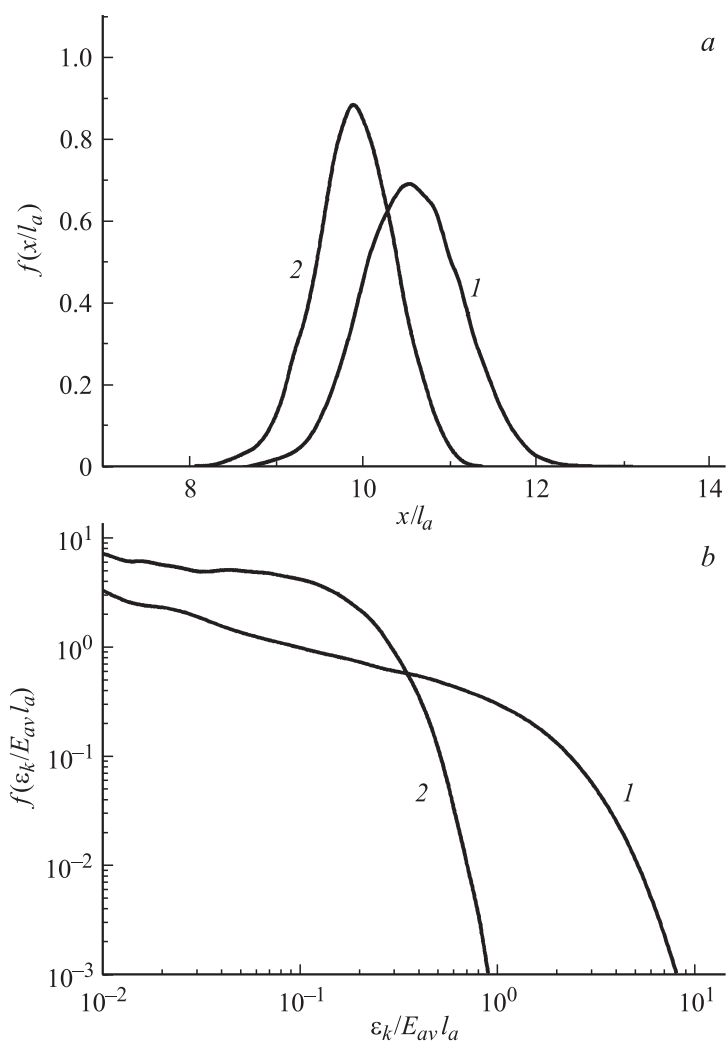


Рис. 2. Нормированные функции распределения УЭ при давлении воздуха 1 atm в зависимости от пространственной координаты (a) и от энергии электронов (b). Кривые 1 при $E_{av} = 200$ kV/cm ($l_a = 10.4$ cm, $N_{sec} = 10^5$, $N_{es} = 0.4 \cdot 10^5$); кривые 2 при $E_{av} = 4.36$ kV/cm ($l_a = 3.9 \cdot 10^3$ cm, $N_{sec} = 10^5$, $N_{es} = 0.2 \cdot 10^5$).

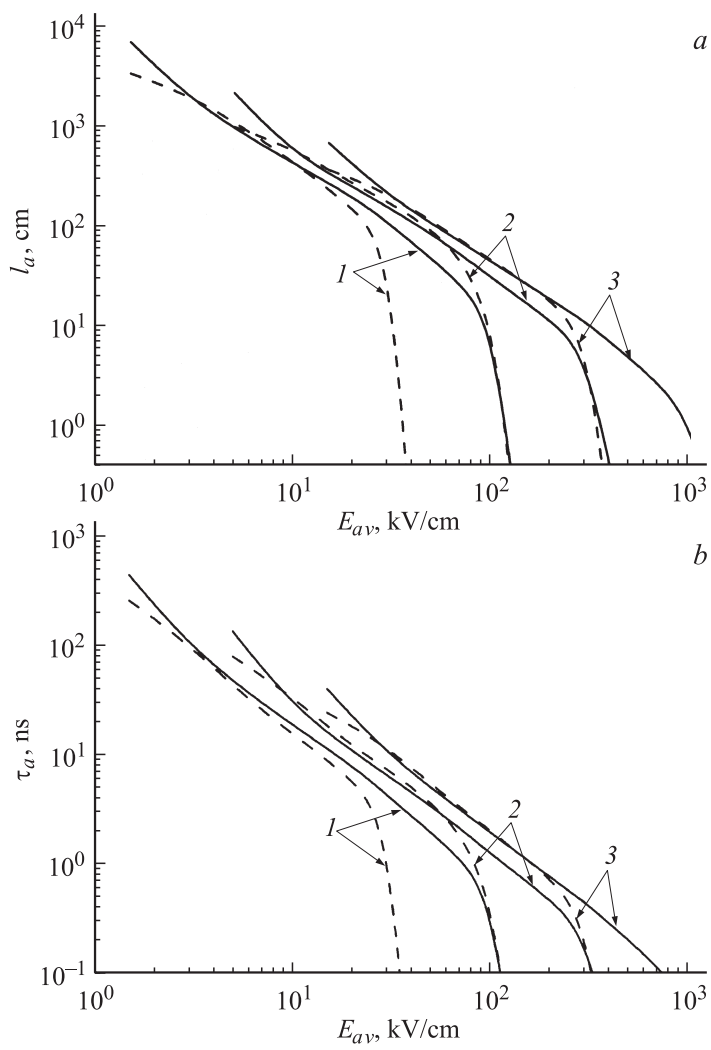


Рис. 3. Зависимость l_a и τ_a от среднего значения электрического поля для воздуха (сплошные линии) и гелия (пунктирные линии) при давлении: 1 — 0.3 atm; 2 — 1 atm; 3 — 3 atm.

с выражениями: $N_{es} = \exp(l_f/l_a)$; $N_{es} = \exp(t_f/\tau_a)$, где τ_f — время в конце расчета; l_f — положения максимума функции распределения в конце расчета (рис. 2, *a*). В таблице для воздуха при атмосферном давлении и при различной напряженности электрического поля представлены сравнения значений величины τ_a , вычисленных по описанной методике, с расчетами других авторов. В данной таблице представлены результаты расчетов без учета [12] и с учетом [12,18] упругого рассеяния электронов атомами газа.

На рис. 2 представлены пространственные (рис. 2, *a*) и энергетические (рис. 2, *b*) функции распределения электронов в лавине для двух вариантов: $E_{av} = 200 \text{ kV/cm} \gg E_{br}$; $E_{av} = 4.36 \text{ kV/cm} \ll E_{br}$. Рис. 2, *a* показывает, что как при больших, так и при малых E_{av} функция распределения УЭ в пространстве (по координате x , вдоль поля) близка к гауссовской, с шириной на полувысоте, приблизительно равной l_a . Скорость распространения лавины УЭ $v_l = l_a/\tau_a$ при $E_{av} = 200 \text{ kV/cm}$ равна $2.45 \cdot 10^{10} \text{ cm/s}$, а при $E_{av} = 4.36 \text{ kV/cm}$ — $1.85 \cdot 10^{10} \text{ cm/s}$. На рис. 3 приведены значения величин l_a (рис. 3, *a*) и τ_a (рис. 3, *b*) в зависимости от E_{av} . Как видно из этого рисунка, расчетные значения l_a больше, чем предсказывает оценка (6), однако эта оценка правильно отражает качественные зависимости l_a от давления и атомного номера газа. Вычисленные значения l_a и τ_a позволяют сделать вывод: при равных значениях напряженности электрического поля длина и время экспоненциального нарастания лавины убегающих электронов уменьшаются при уменьшении давления и атомного номера газа, в котором происходит разряд.

Работа выполнена при частичной поддержке РФФИ: грант № 10-08-01283-а, грант № 10-08-01249-а.

Список литературы

- [1] Бабич Л.П., Лойко Т.В., Цукерман В.А. // УФН. 1990. Т. 60. В. 7. С. 49–82.
- [2] Бабич Л.П., Станкевич Ю.Л. // ЖТФ. 1972. Т. XLII. В. 8. С. 1669–1673.
- [3] Яландин М.И., Месяц Г.А., Реутова А.Г. и др. // Письма в ЖТФ. 2011. Т. 37. В. 8. С. 56–65.
- [4] Gurevich A.V., Mesyats G.A., Zybin K.P. et al. // Phys. Lett. A. 2011. V. 375. P. 2845–2849.
- [5] Тарасенко В.Ф., Бакиит Е.Х., Бураченко А.Г. и др. // Письма в ЖТФ. 2010. Т. 36. В. 8. С. 60–67.

- [6] *Бабиц Л.П., Лойко Т.В.* // ДАН. 2009. Т. 429. № 1. С. 35–39.
- [7] *Dwyer J.R., Saleh Z., Rassoul H.K. et al.* // J. Geophys. Res. 2008. V. 113. D2307. P. 1–12.
- [8] *Орешкин Е.В., Баренгольц С.А., Огинов А.В.* и др. // Письма в ЖТФ. 2011. Т. 37. В. 12. С. 80–87.
- [9] *Королев Ю.Д., Месяц Г.А.* Физика импульсного пробоя газов. М.: Наука, 1991. 223 с.
- [10] *Gurevich A.V., Milikh G.A., Rousel-Dupre R.* // Phys. Lett. A. 1992. V. 165. P. 463–468.
- [11] *Гуревич А.В., Зыбин К.П.* // УФН. 2001. Т. 171. В. 11. С. 1178–1199.
- [12] *Бабиц Л.П., Донской Е.Н., Ильяев Р.И.* и др. // Физика плазмы. 2004. Т. 30. С. 666–674.
- [13] *Ландау Л.Д., Лифшиц Е.М.* Квантовая механика. М.: Наука, 1989. 767 с.
- [14] *Vakhov K.I., Babich L.P., Kusyk I.M.* // IEEE Trans. Plasma Sci. 2000. V. 28. N 4. P. 1254–1262.
- [15] *Ландау Л.Д., Лифшиц Е.М.* Электродинамика сплошных сред. М.: Физматгиз, 1959. 532 с.
- [16] *Ландау Л.Д., Лифшиц Е.М.* Теория поля. М.: Физматгиз, 1962. 422 с.
- [17] *Ткачев А.Н., Яковленко С.И.* // Труды ИОФАН. 2007. Т. 63. С. 102–131.
- [18] *Lehtinen N.G., Bell T.F., Inan U.S.* // J. Geophys. Res. 1999. V. 104. N A11. P. 24699–24712.